CODAR社製SeaSonde海洋短波レーダーを用いた 短周期流動場の検出に向けて

中條 飛翔1, 阿部 泰人2, 金子 仁3, 佐藤喜曉3, 佐々木建一3

[1]北海道大学大学院水産科学院

[2]北海道大学大学院水産科学研究院

[3]JAMSTEC むつ研究所

目次

- 1. 研究背景
- 2. 使用するデータと手法
- 3. 結果と考察
- 4. 展望とまとめ

- 津軽海峡における海洋観測
- SeaSondeの特徴
- ・トンガ火山噴火による気象津波の観測
- 特異的冷水現象の観測
- 釜谷付近への流れの変化について
- ・ 本研究の目的

津軽海峡における海洋観測

- ・CODAR社製SeaSondeが3基設置 (大畑、恵山、岩屋)
- 係留系が設置(釜谷、大森、古武井、銚子)

SeaSondeの特徴

- Direction Finding型のため省スペースで設置可
- Beam Forming型とは異なり<u>方位探知を行う必要</u>
 →2つのLoopアンテナでの指向性の違いより予測

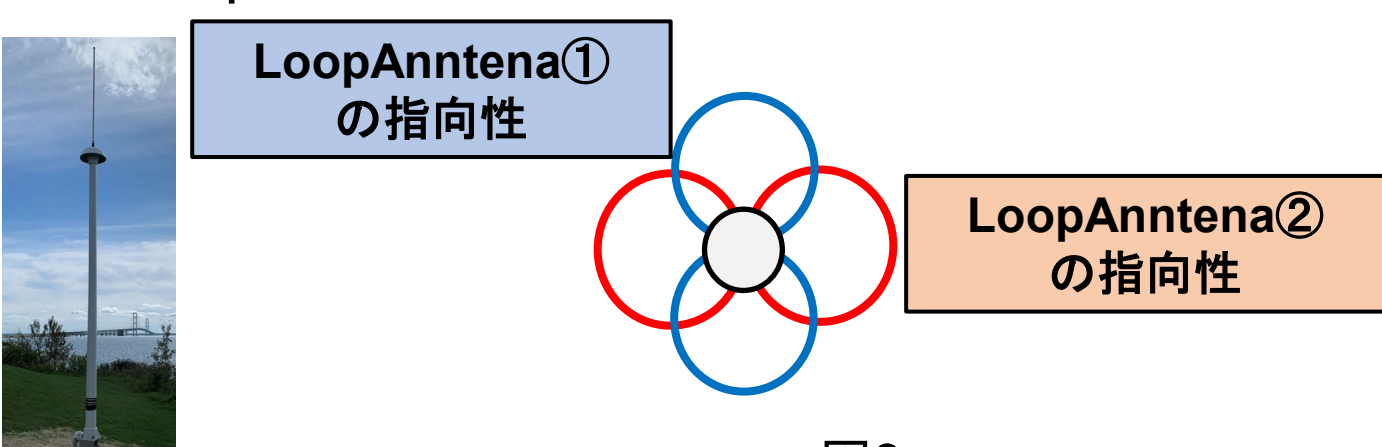
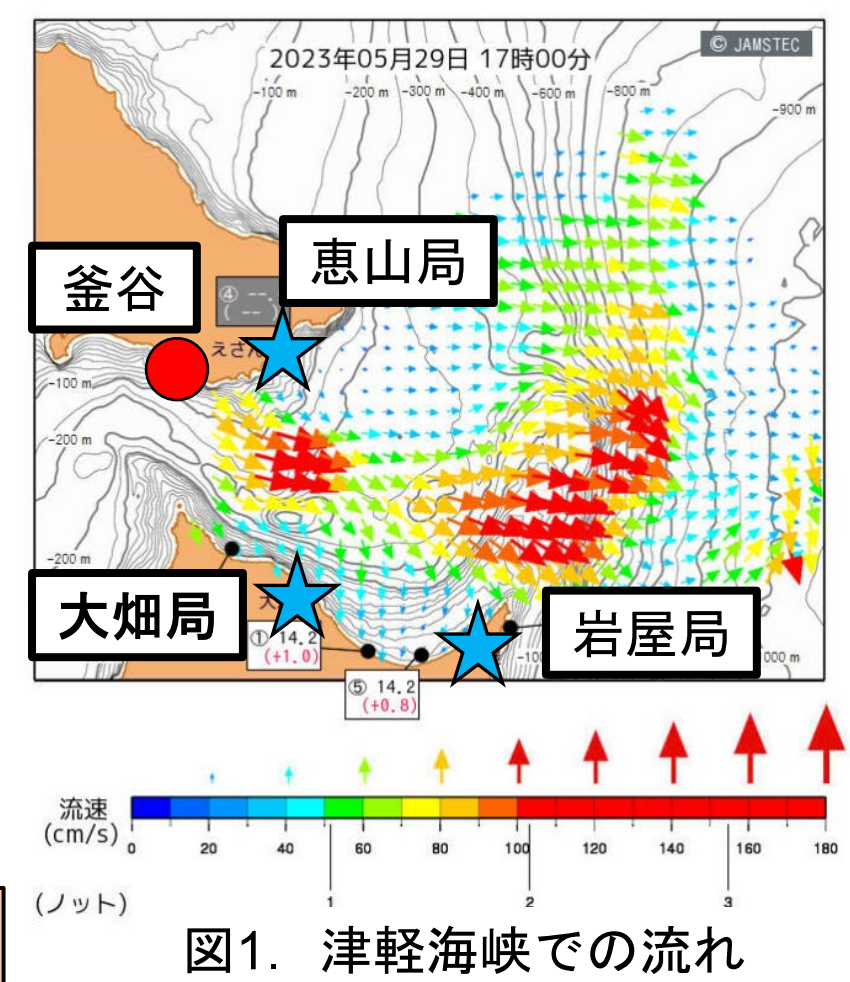


図2. SeaSonde

SeaSondeを上から見た際の指向性の様子



https://www.godac.jamstec.go.jp/morsets/j/top/index.html

トンガ火山噴火による気象津波の観測

- ①2022年1月15日13時頃(JST)トンガ沖にて 大規模噴火が発生し気象津波が発生
- ②同日21時頃日本各地に津波第一波が到来
- ③津軽海峡に設置された短波レーダーにより 津波の捕捉
- <u>4津波の早期観測への可能性を示唆</u> (Wang *et al.,*2023)

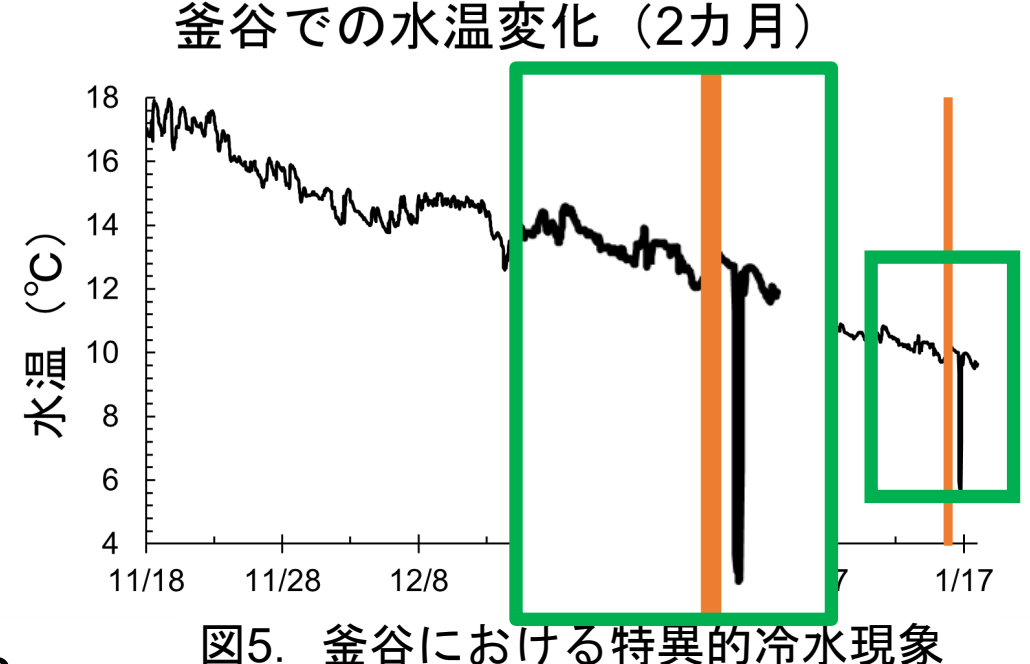
特異的冷水現象の観測

16日に津軽海峡に面した釜谷にて 水温が急激に下がる現象を観測 津波との関係性を疑う



図4. トンガ火山噴火の様子

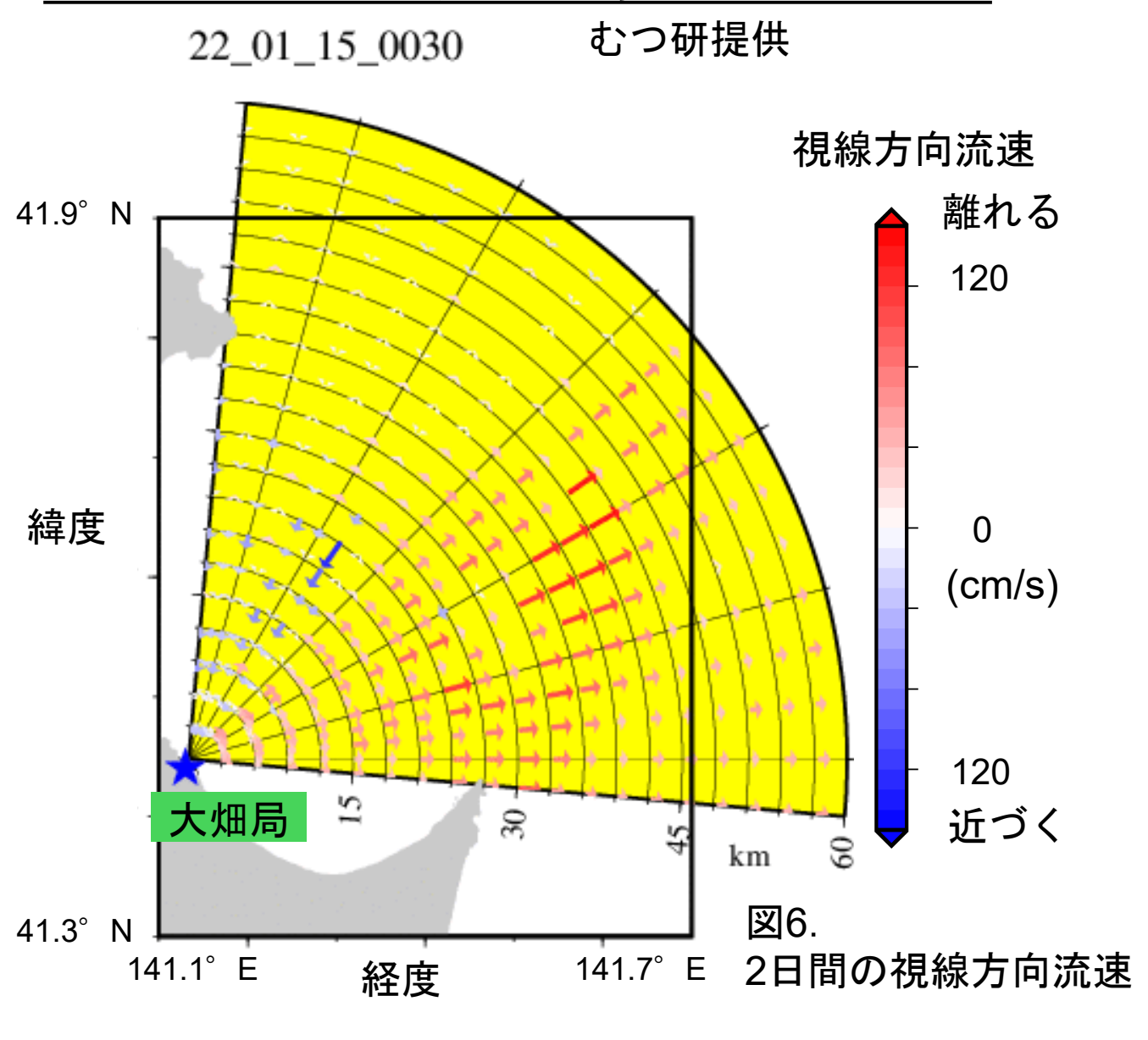
https://www.nationalgeographic.co.uk/science-and-technology/2022/01/the-volcanic-explosion-in-tonga-destroyed-an-island-and-created-many-mysteries



橙線は津波第一波の到達時刻を示す

海流に何かしらの変化が生じた?

釜谷付近への流れの変化について



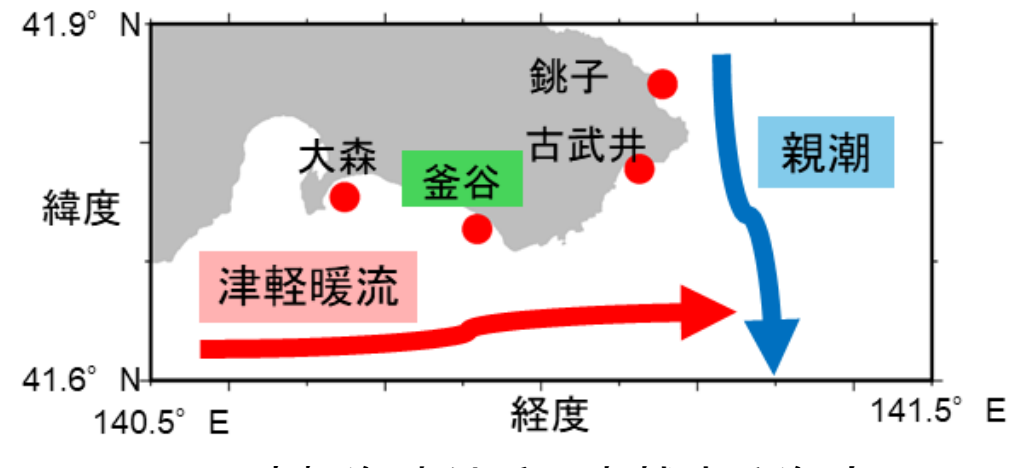


図7. 津軽海峡付近に卓越する海流

むつ研から提供されたデータでは 特筆した流れは見られない



データ処理の段階にて時間移動平均 を行っている

時間移動平均間隔を短くすることで 観測することができるのでは?

本研究の目的

現状の解析手法では短周期流動場の検出には適していない 75分間の時間移動平均を使用し、30分ごとのデータとしている



時間移動平均の間隔を短くすることで短周期流動場を検出したい 10分ごとにデータは存在するので20分や40分といった短い間隔へ



特異的な冷水現象や津波といった短周期の流動を検出

- 使用するデータ
- 短波レーダーでの観測データの処理
- ・ 処理方法の比較

使用するデータ

短波レーダーでの観測データ

観測項目 : レーダーでの**受信電力**(μW)

データの種類: self spectra, cross spectra

観測間隔 : 10分間隔

短波レーダーでの解析済みデータ

:視線方向流速(m/s) 観測項目

観測間隔 :30分間隔

係留系による実測データ

観測項目:流速•流向、水温

観測間隔:30分間隔

設置場所:水深10m

使用する期間

2022年1月15日から16日の2日間

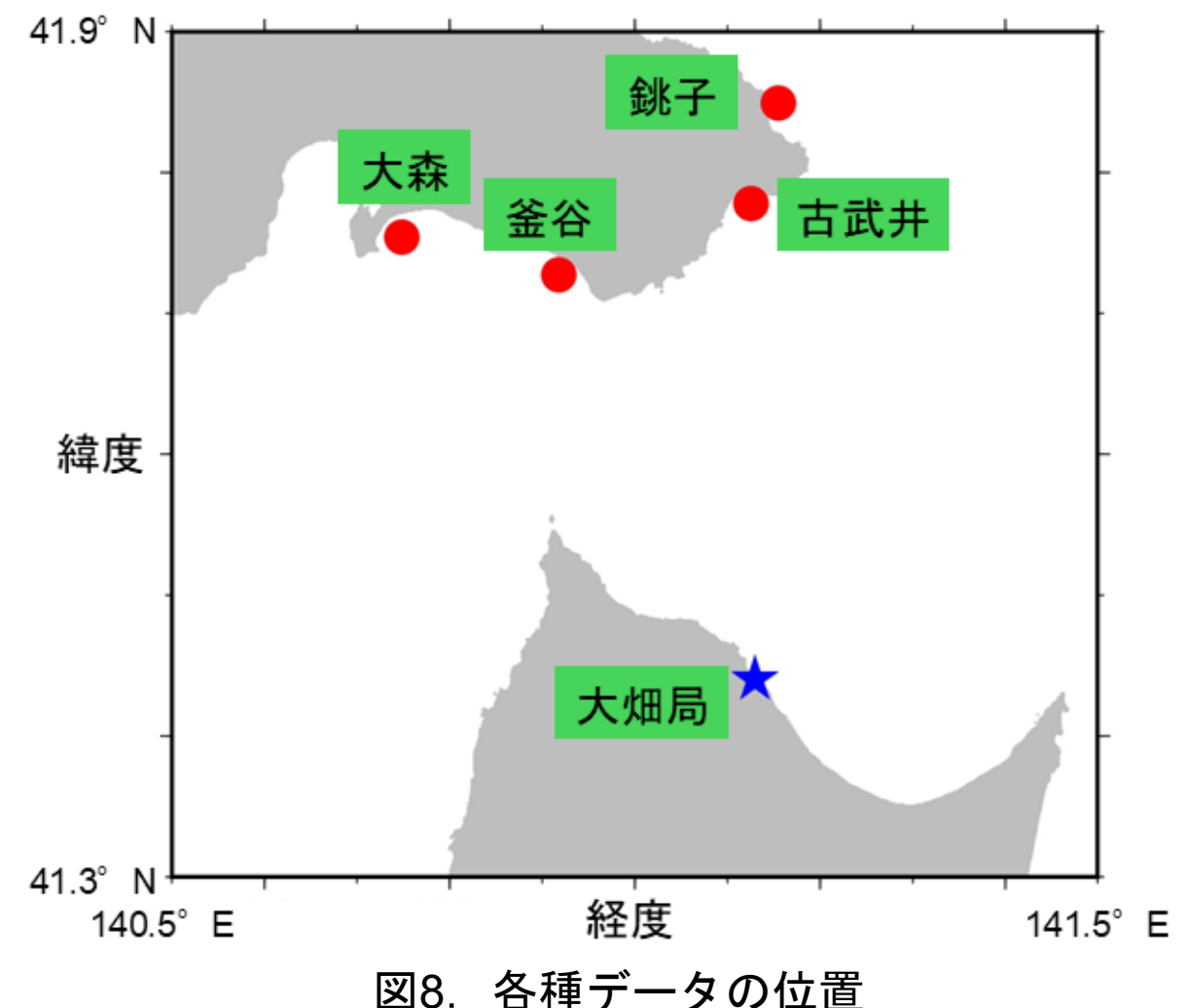


図8. 各種データの位置

青星:短波レーダー...大畑

赤丸:係留系...銚子、古武井、釜谷、大森

<u>短波レーダーでの観測データの処理</u>

- ①短波レーダーを中心とし<u>同心円状に電波を海面に照射</u>
- ②ある条件下で表面波にてブラッグ散乱が起こり 強い後方散乱が生じる
- ③短波レーダーが後方散乱を受信し強い受信電力が得られる

<u>まとめ</u> ブラッグ散乱により **強い受信電力**が得られる → ブラッグ散乱が生じた 表面波の距離、<u>方位角</u> が求められる

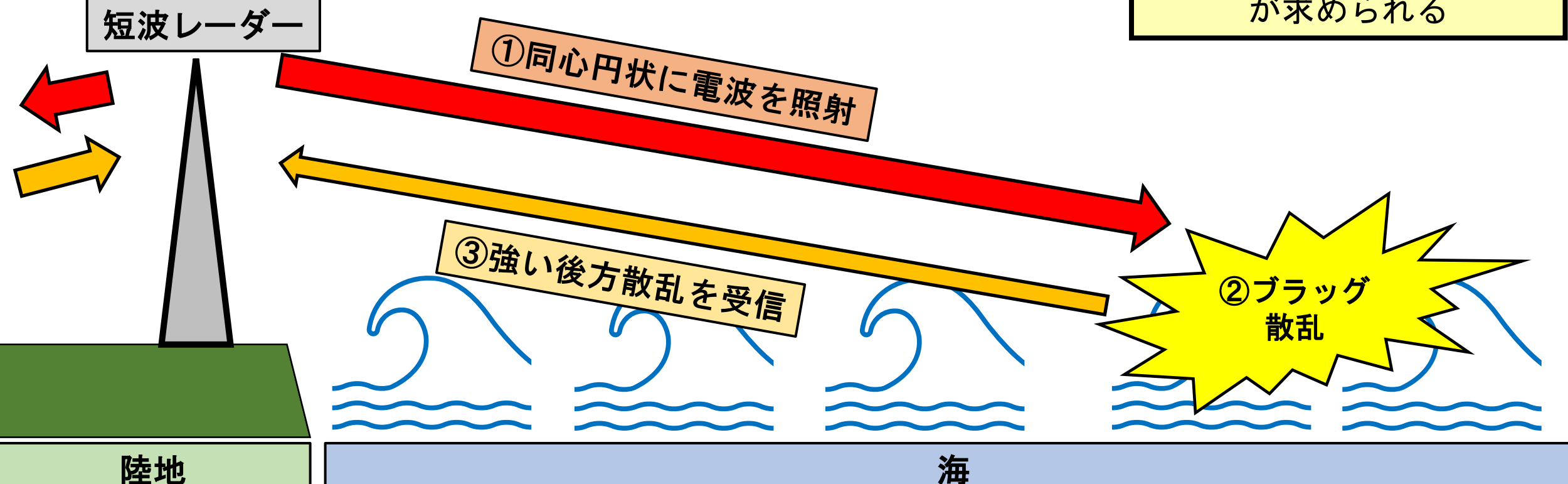


図9. 短波レーダーの仕組み

短波レーダーでの観測データの処理

4 短波レーダー内のクロスループアンテナの指向性を基に 表面波の流れている向きを求める

まとめ 各アンテナでの受信電力の 違いより**方位角**を求める

短波レーダーを上から見た図

短波レーダーによる指向性の一致を上から見た図

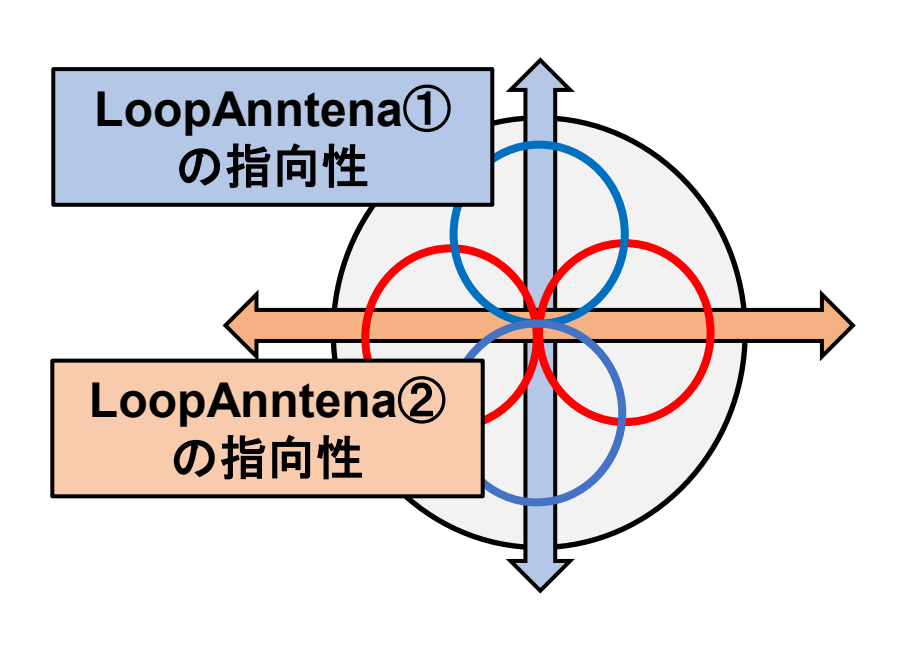


図10. 短波レーダーの指向性

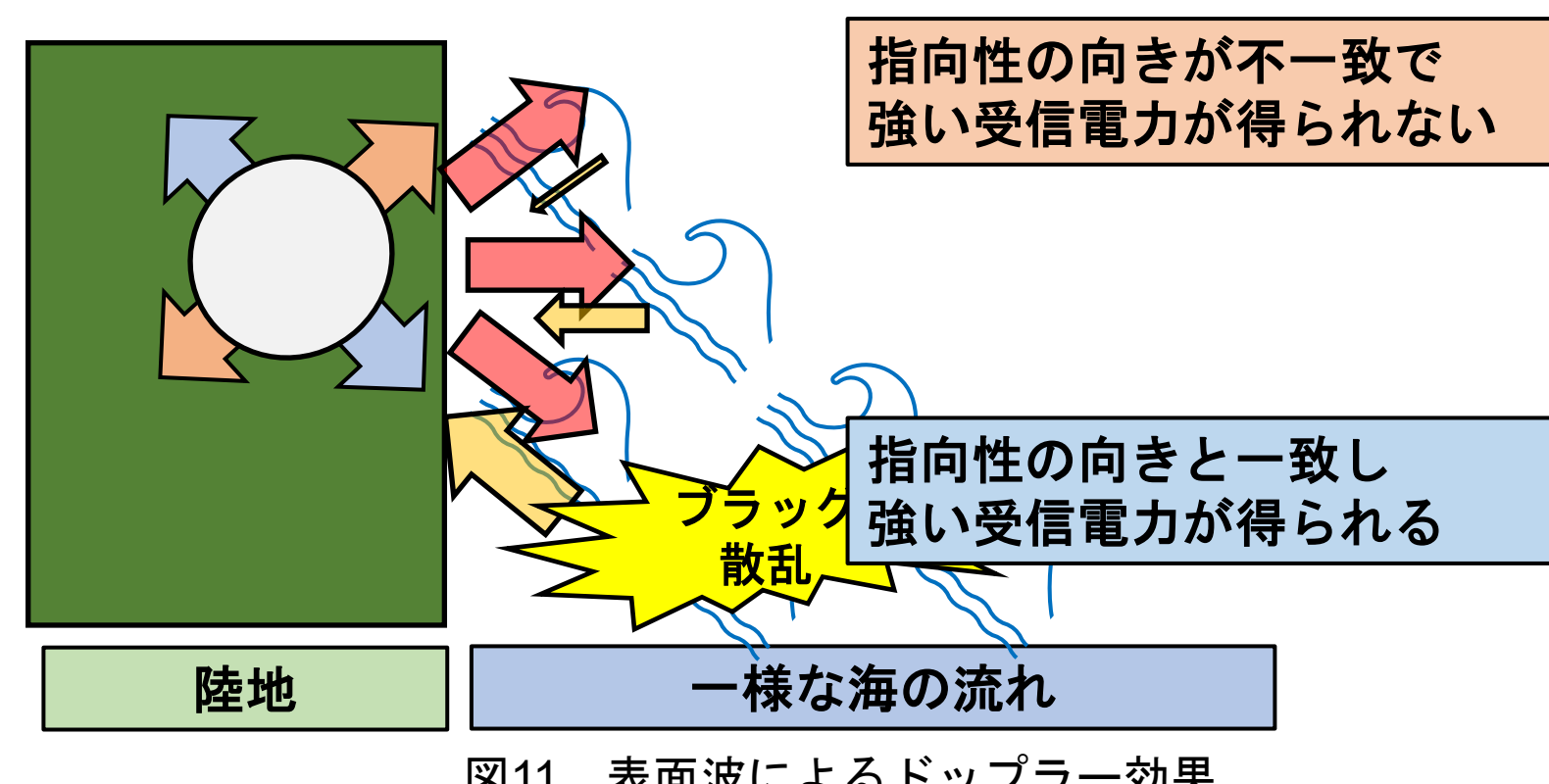


図11. 表面波によるドップラー効果

短波レーダーでの観測データの処理

⑤受信電力を利用し<u>方位角</u>を求める <u>閉形式アルゴリズム</u>、最小二乗法、<u>MUSICアルゴリズム</u> などが存在し今回は**閉形式アルゴリズム**を用いる

閉形式アルゴリズム による方位角の導出

$$\vartheta = \arctan\left(\frac{V_2}{V_1}\right)$$

 V_1 : クロスループ1の受信電圧 V_2 : クロスループ2の受信電圧

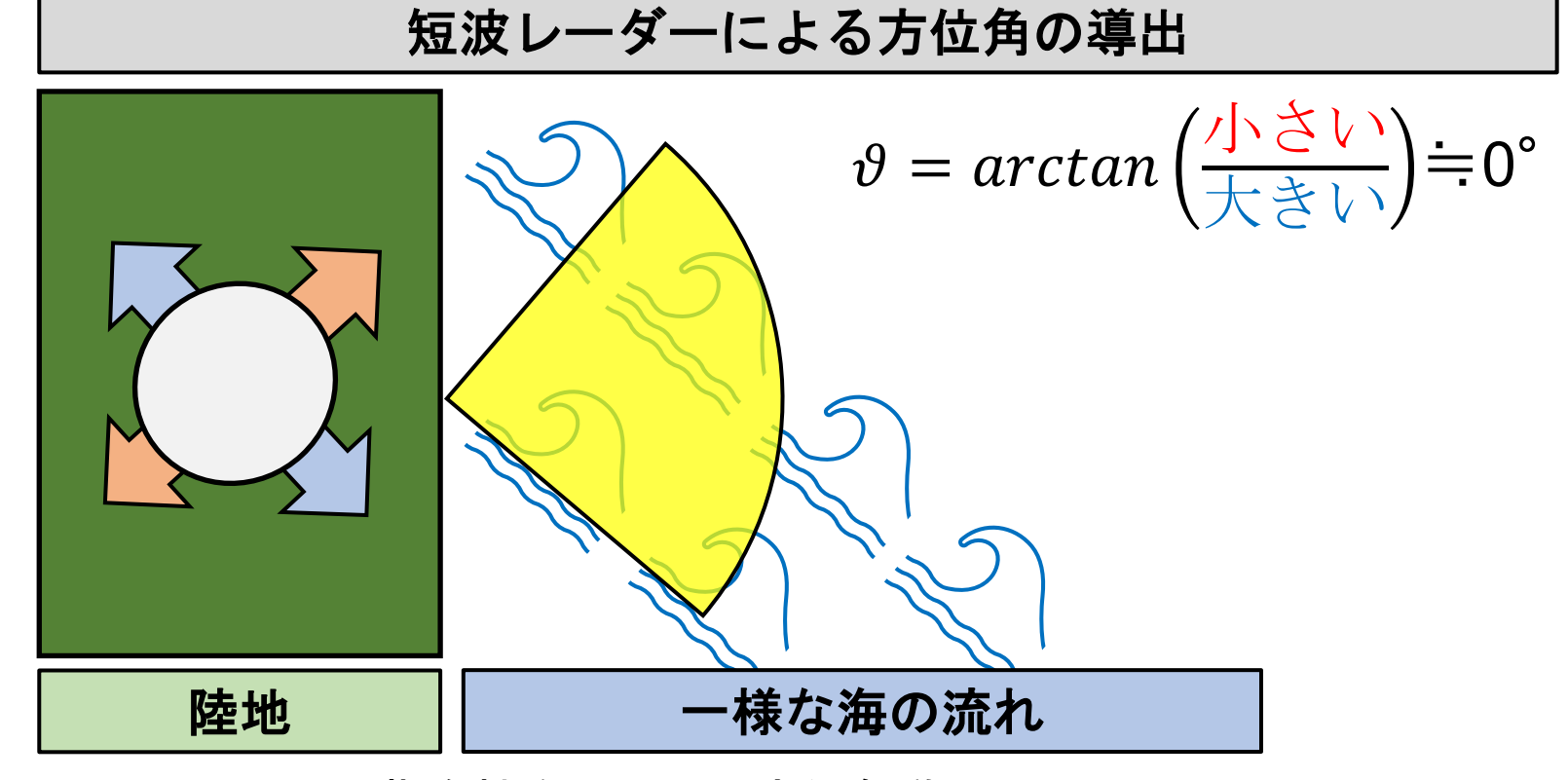
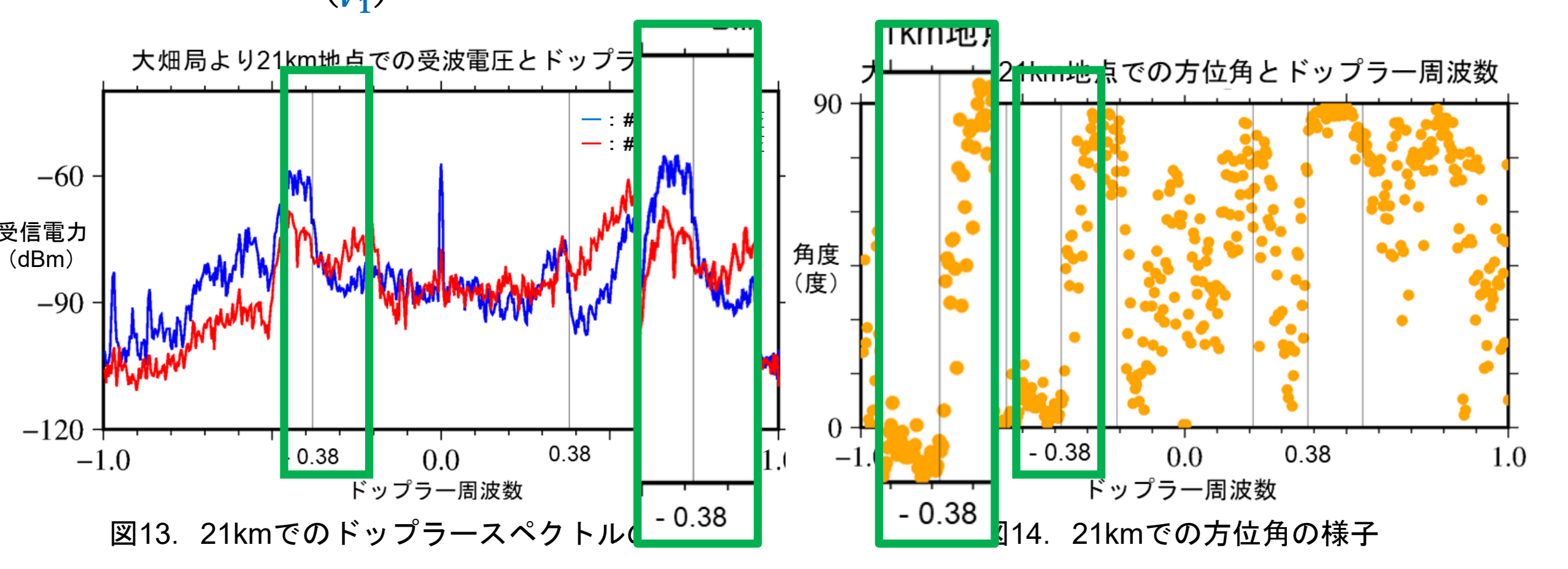


図12. 指向性を利用した方位角導出

<u>短波レーダーでの観測データの処理</u>

⑥**閉形式アルゴリズム**を利用し**方位角**の導出 レーダーから21kmにおける方位角の導出をドップラースペクトルから行う

$$\vartheta = \arctan\left(\frac{V_2}{V_1}\right)$$
 $V_1 > V_2$ の時: 0~45°、 $V_2 > V_1$ の時: 45~90°



短波レーダーでの観測データの処理

⑦ブラッグ散乱による<u>ドップラー効果</u>を基に流速を求める 海に流れがない場合は±0.38Hz位相が変化するが、流れがあると

さらに<u>ドップラー効果</u>が生じる特性を生かす

⑧方位角、流速により視線方向流速の導出

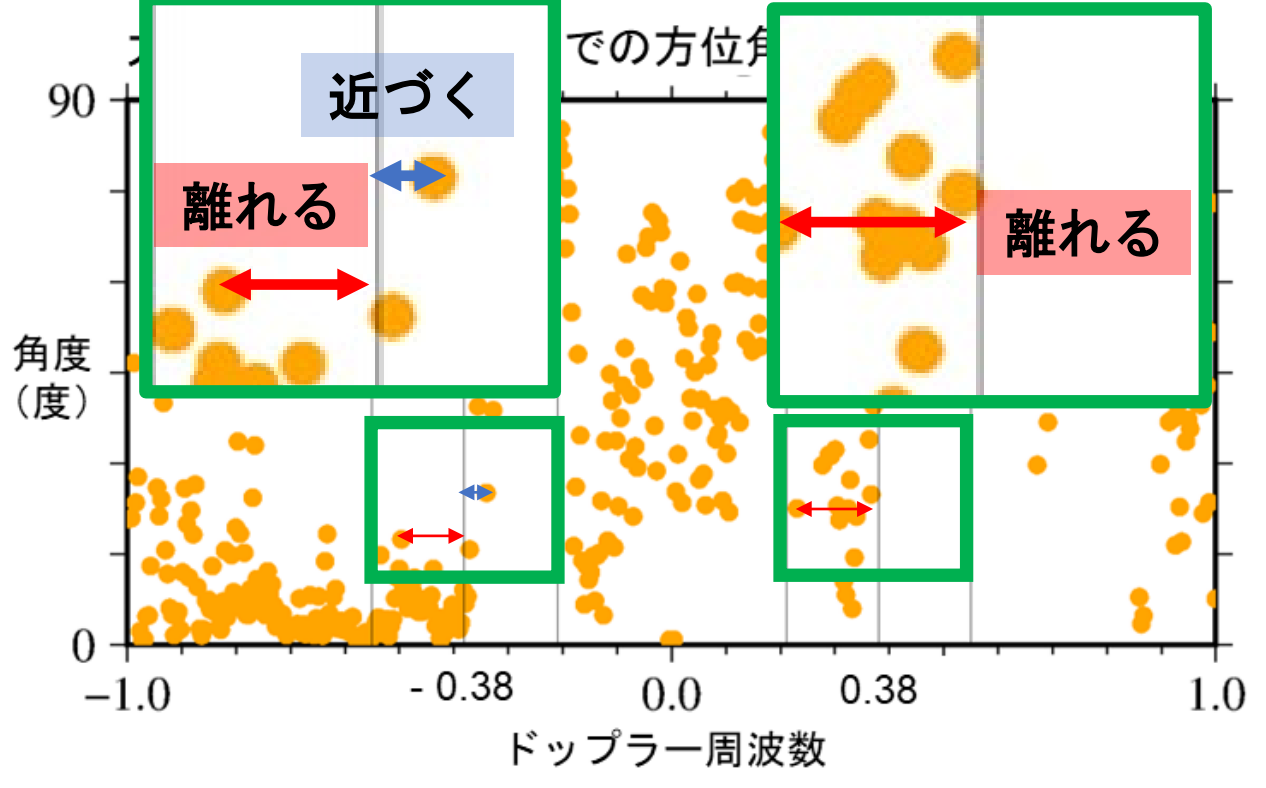


図15. ドップラー周波数を基に流速の導出

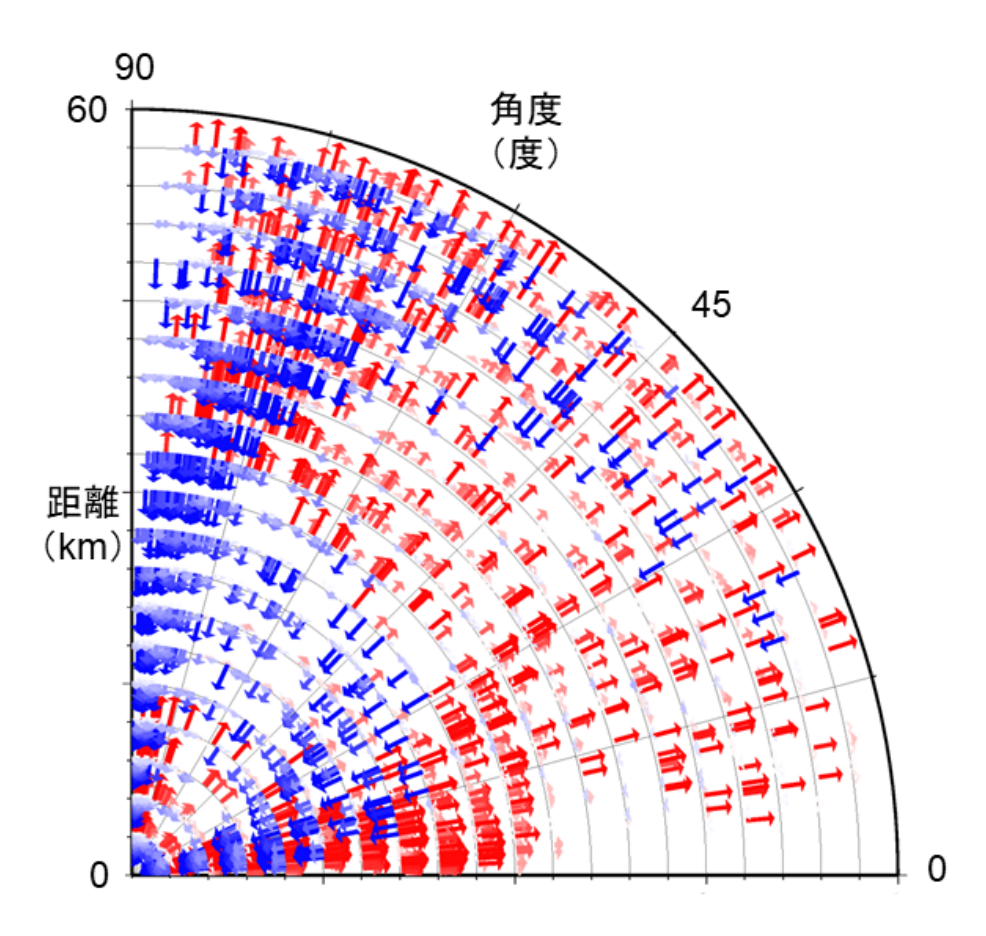
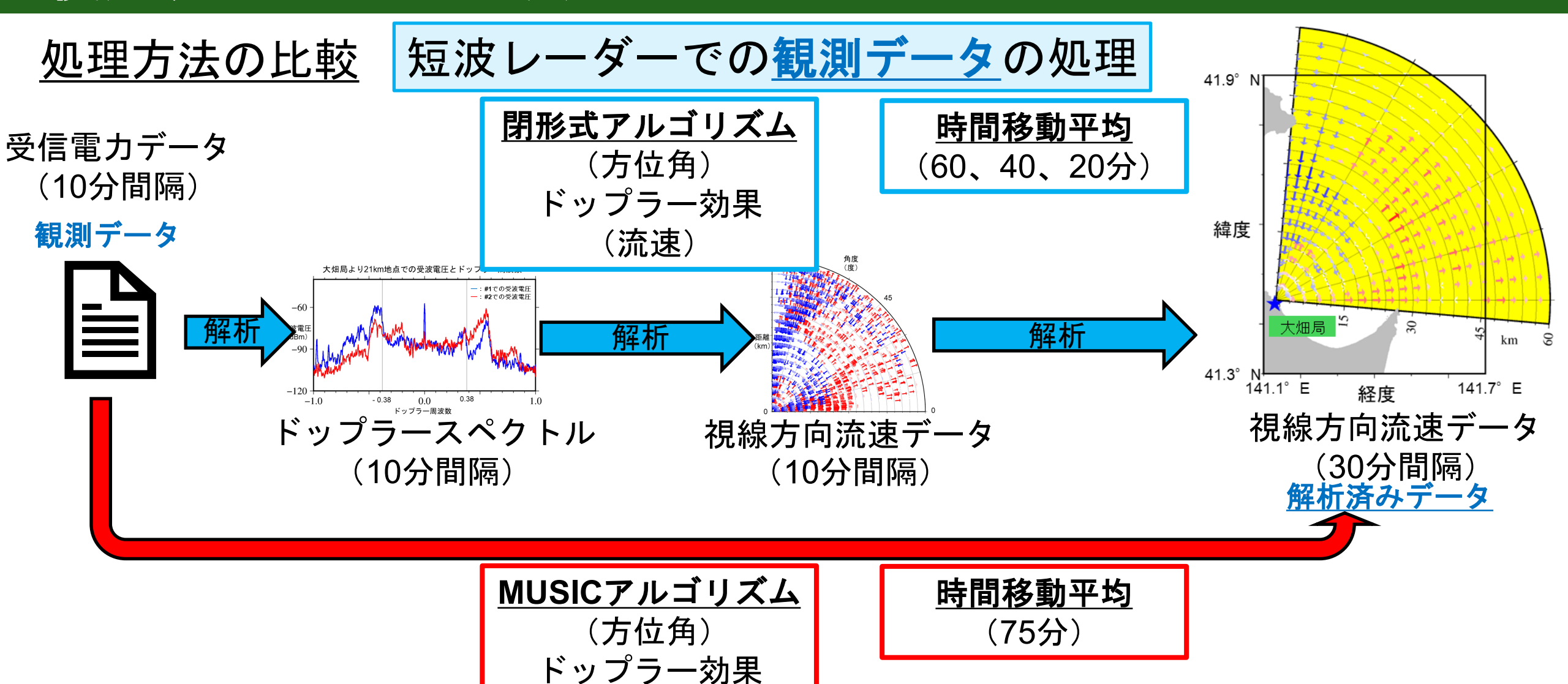


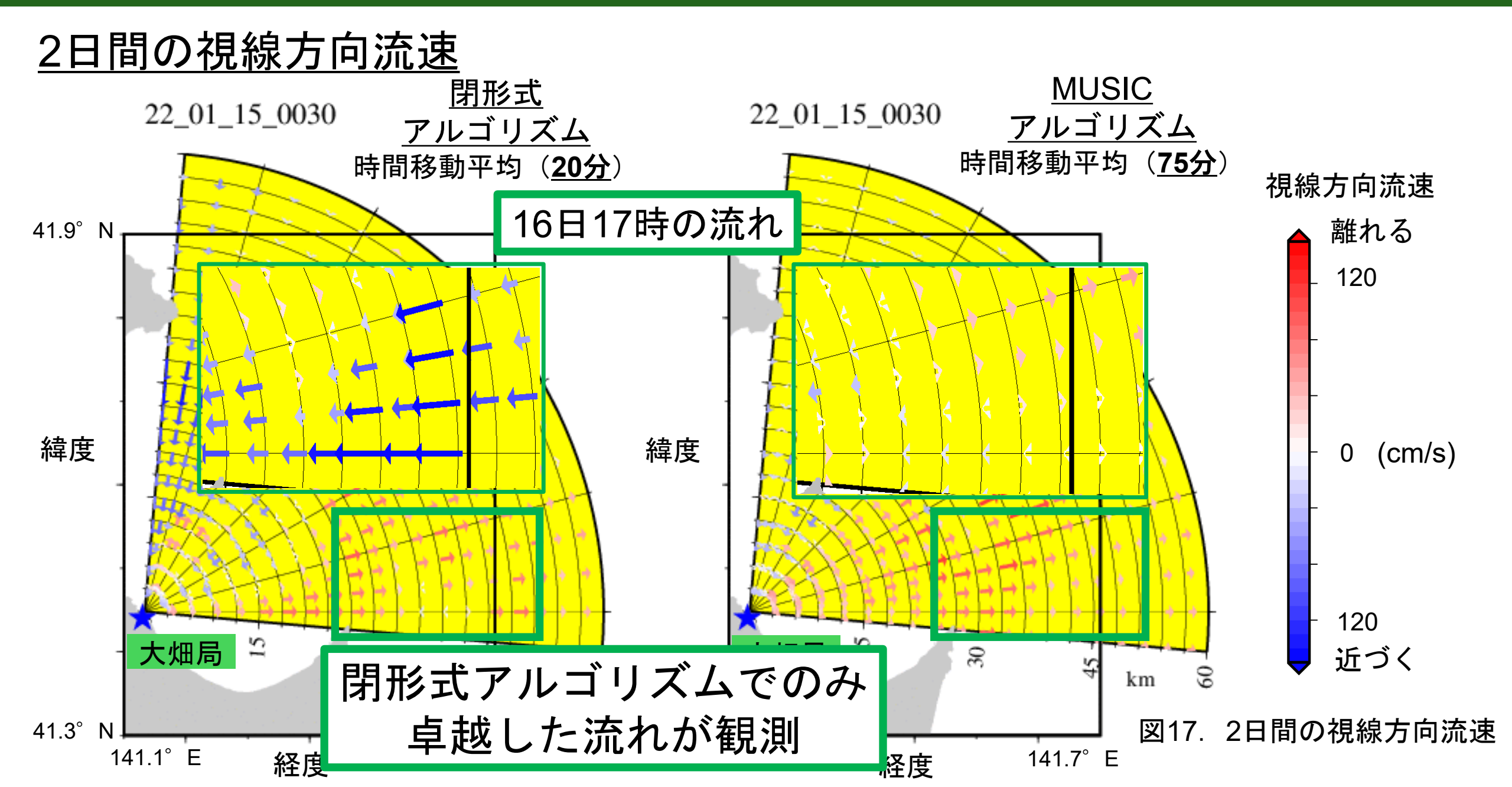
図16. 方位角・流速による視線方向流速



短波レーダーでの<u>解析済みデータ</u>の処理

(流速)

- 2日間の視線方向流速
- 短周期的な観測による流れ
- ・データの精度比較



短周期的な観測による流れ

- 16日13時頃から21時頃まで 津軽海峡に流入する卓越した流れ
- ・同日16時頃から19時頃まで 釜谷では特異的冷水現象
- 津軽暖流は10℃、親潮は5℃前後

時刻、流向、水温において一致するため 親潮の流入があったと考えられる

一方で

- ・潮位計では目立った潮位は見られない (17日朝に大潮)
- ・ 釜谷でのみ水温低下が生じた理由は不明

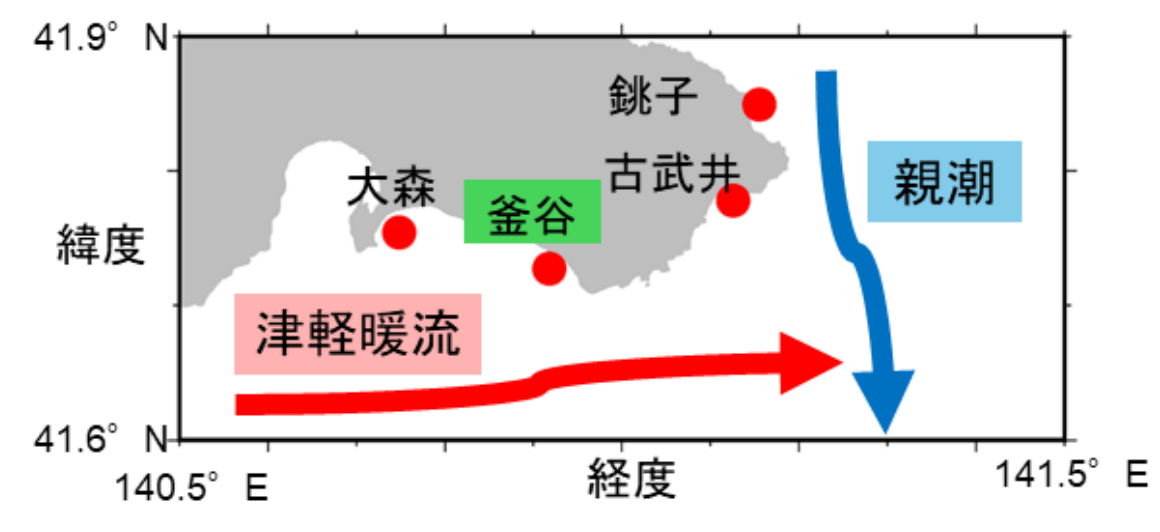
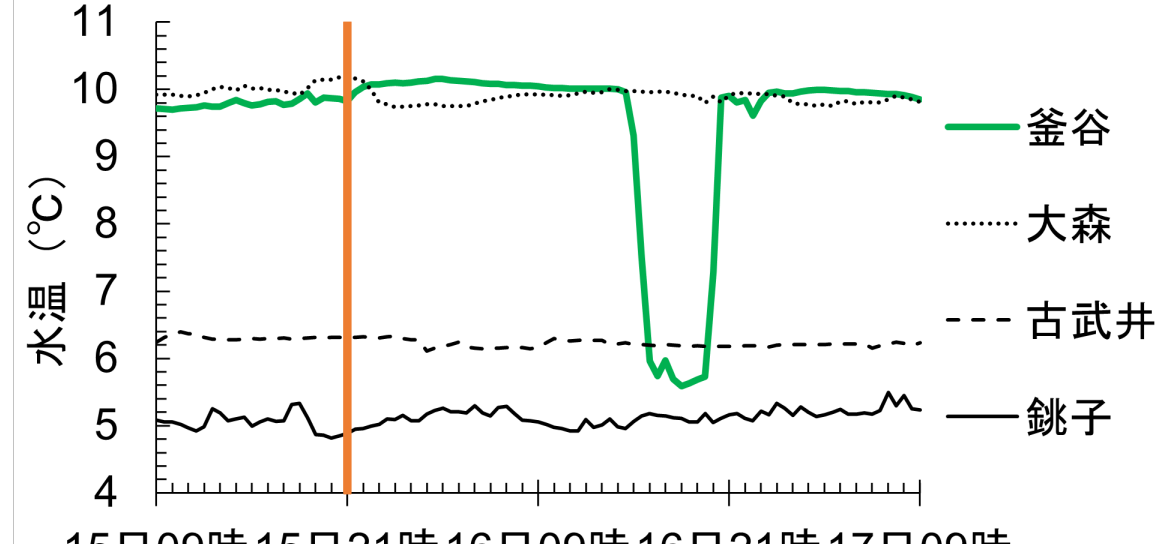


図18. 津軽海峡付近に卓越する海流



15日09時15日21時16日09時16日21時17日09時 図19. 各係留系での水温変化 (2日間)

橙線は津波第一波の到達時刻を示す

データの精度比較

比較方法

- ・双方のアルゴリズムで得られた視線方向流速 を係留系での実測値と比較を行う
- ・絶対平均誤差(MAE)を用いる

$$MAE = \frac{1}{n} \sum_{i=1}^{n} |P_i - O_i|$$

 P_i : 短波レーダーによる視線方向流速(cm/s) (青丸)

 O_i :係留系による実測値(cm/s) (赤丸)

比較結果

- MUSICアルゴリズムの方が精度が良い
- 閉形式アルゴリズムでは時間移動平均を 短くすると精度が落ちるが誤差の範囲
- 時間移動平均による誤差よりも方位角の 導出方法の違いによる誤差が大きい と考えられる

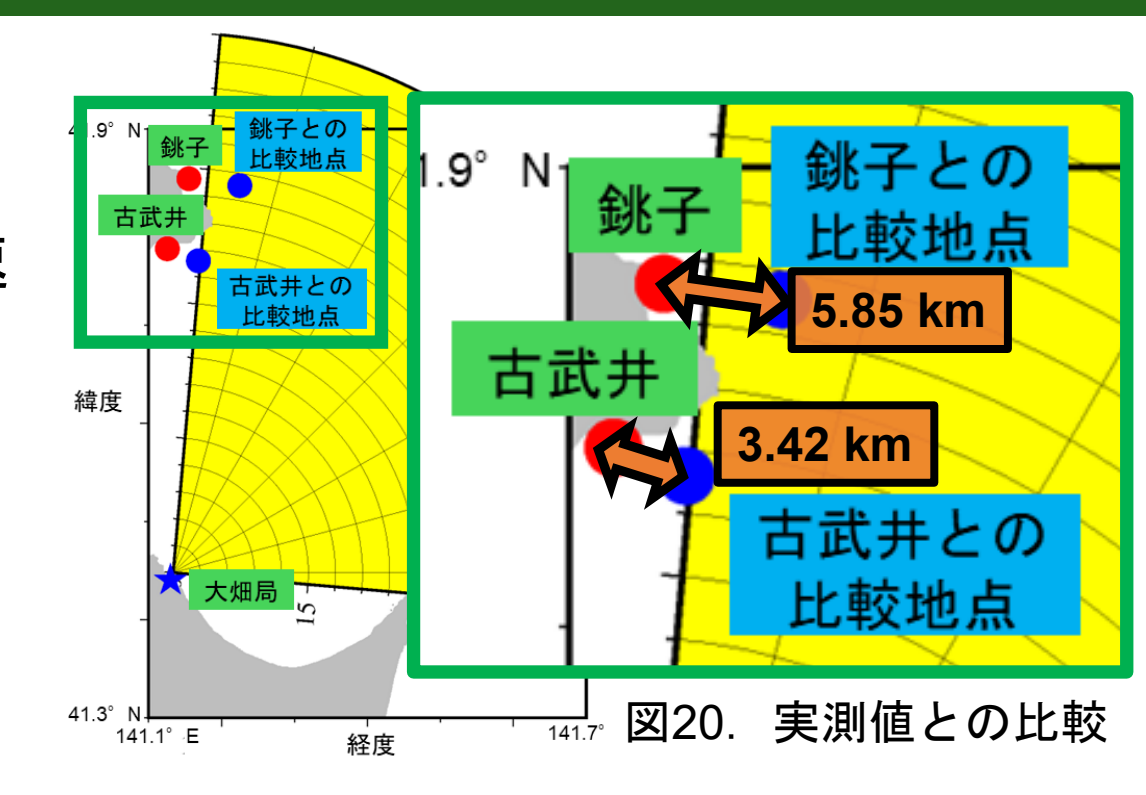


表1. 各アルゴリズムにおけるデータの比較

	解析方法			
観測地	MUSIC	閉形式		
	アルゴリズム	アルゴリズム		
	時間移動平均	時間移動平均		
	75分	60分	40分	20分
銚子	16.07	41.01	40.8	41.2
古武井	19.07	39.97	40.54	40.69

- 閉形式アルゴリズムについて
- MUSICアルゴリズについて
- ・アンテナ補正を行った論文
- 各種解析アルゴリズムについて
- 高度な方位角導出法の利用にあたり
- 他の論文とのスペクトル図の比較
- まとめと展望

閉形式アルゴリズムについて

- <u>self spectra</u>(信号成分)のみで導出
- アンテナパターンの補正ができない
- 一様な海の流れしか分からない

短波レーダーによる指向性の一致を上から見た図

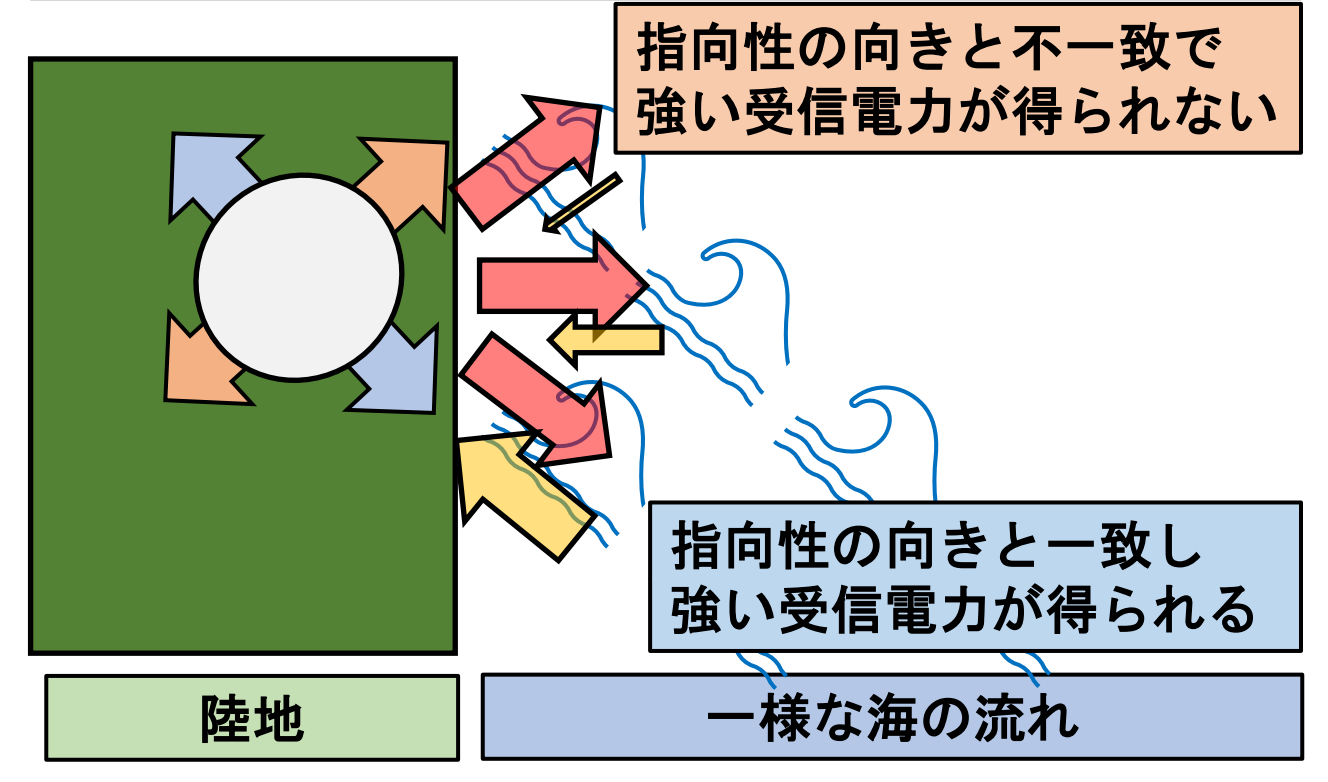


図21. 表面波によるドップラー効果

理想形としての式

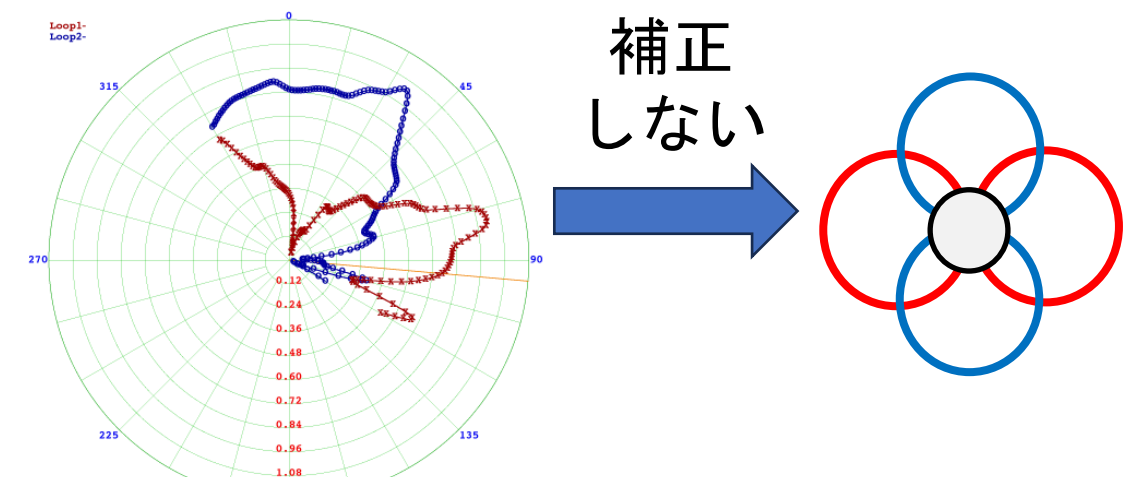
$$g_1(\theta) = \cos(\theta)$$
: Loop1

$$g_2(\theta) = \sin(\theta) : \text{Loop2}$$

$$\vartheta = arctan \left(\frac{V_2}{V_1} \right) \quad \begin{array}{c} V_1 : Loop1$$
の受信電力 $V_2 : Loop2$ の受信電力

実際

理想形



MUSICアルゴリズムについて

Charles, A.G. el al. (2021)

- <u>self spectra</u>(信号成分)と<u>cross spectra</u> (ノイズ成分)にて導出
- アンテナパターンの補正が可能
- 詳細な海の流れを観測できる

$$g_1(\theta) = \rho_1 \cos(\theta - \theta_1) e^{i\phi_1}$$

$$g_2(\theta) = \rho_2 \sin(\theta - \theta_2)e^{i\phi_2}$$

振幅や位相等を調整することができる。 これらの係数を求めるのにcross spectra により得られる複素成分が必要。

$$Re \ g_n(\theta) = a_n cos\theta + b_n sin\theta$$

 $Im \ g_n(\theta) = a'_n cos\theta + b'_n sin\theta$

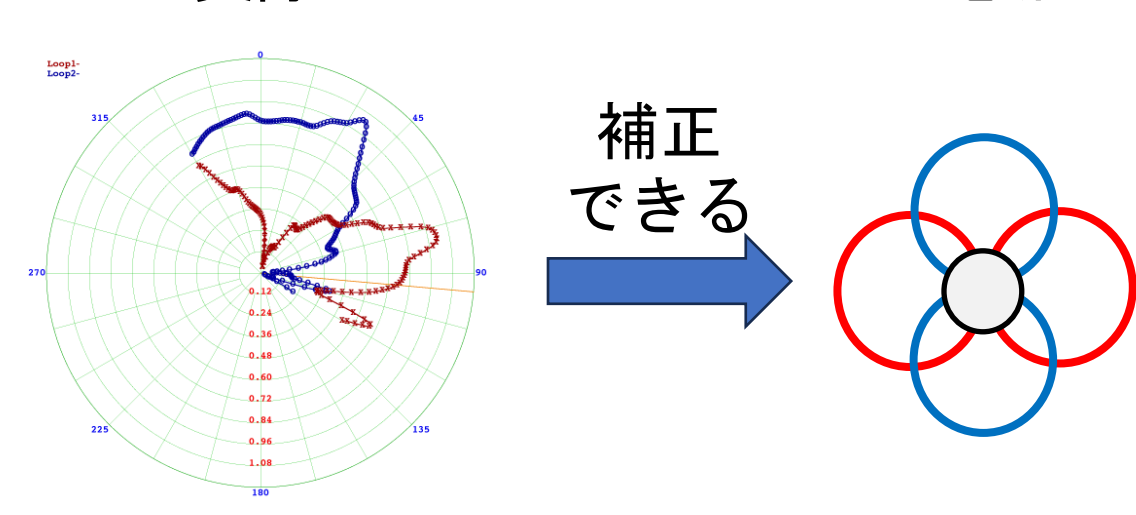
理想形としての式

$$g_1(\theta) = \cos(\theta)$$
: Loop1

$$g_2(\theta) = sin(\theta)$$
: Loop2

実際

補正する



理想形

アンテナ補正を行った論文

High-Frequency Radar Measurements with CODAR in the Region of Nice: Improved Calibration and Performance

Charles, A.G. el al. (2021)

黒線:漂流ブイ

赤点:理想形(補正無し)

緑点:自己修正

青点:観測修正

MUSICアルゴリズを用いた 修正(緑点・青点)での 精度が良い

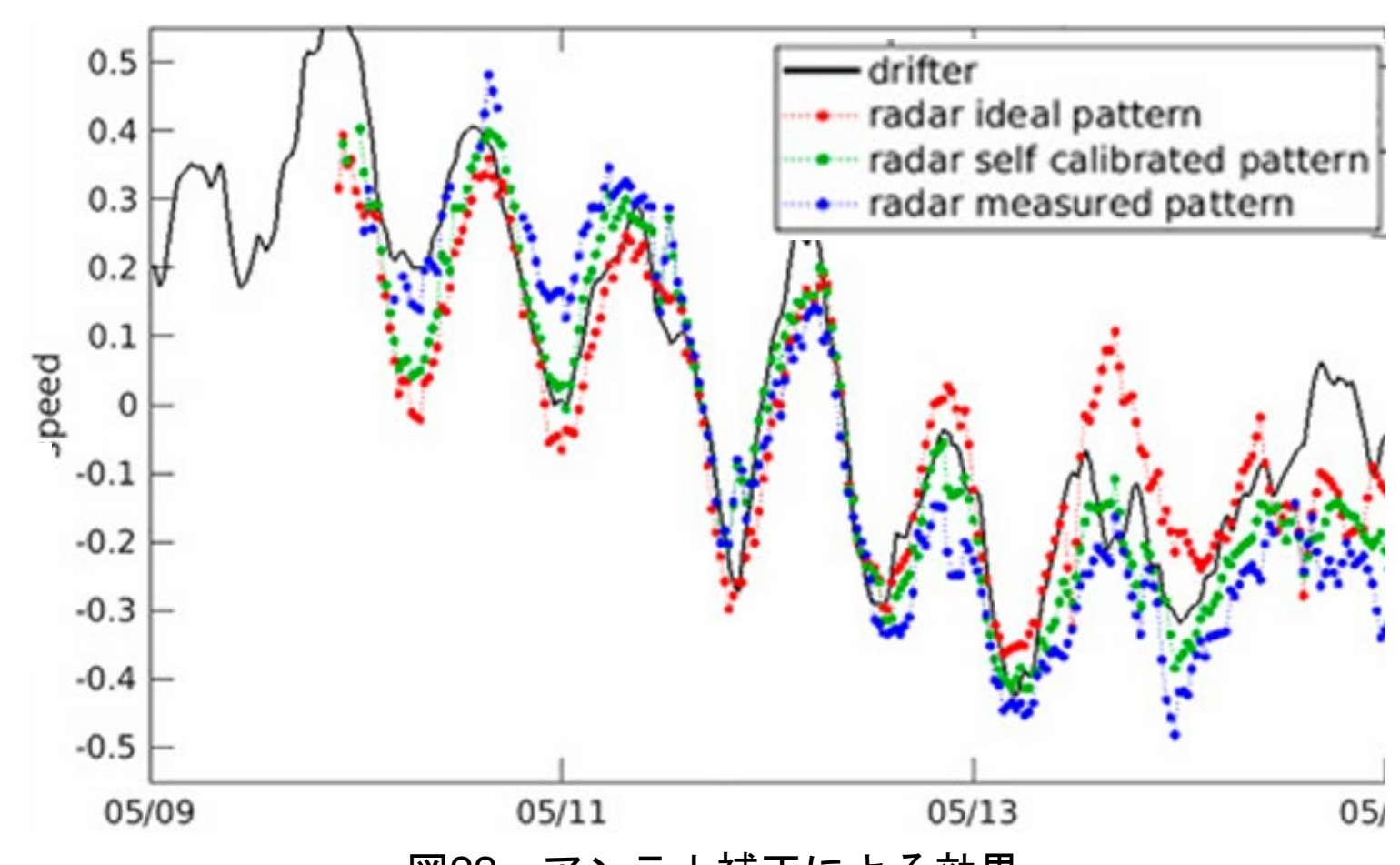


図22. アンテナ補正による効果

各種解析アルゴリズムについて

閉形式アルゴリズム

- <u>self spectra</u>(信号成分)のみで 導出
- アンテナパターンの補正ができない

理想形としての式

$$g_1(\theta) = \cos(\theta)$$
: Loop1

$$g_2(\theta) = \sin(\theta)$$
: Loop2

$$\vartheta = arctan \left(\frac{V_2}{V_1} \right) \quad \begin{array}{c} V_1 : Loop1$$
の受信電力 $V_2 : Loop2$ の受信電力

MUSICアルゴリズム

- <u>self spectra</u>(信号成分)と<u>cross spectra</u> (ノイズ成分)にて導出
- アンテナパターンの補正が可能

$$g_1(\theta) = \rho_1 \cos(\theta - \theta_1) e^{i\phi_1}$$

$$g_2(\theta) = \rho_2 \sin(\theta - \theta_2) e^{i\phi_2}$$

$$Re g_n(\theta) = a_n cos\theta + b_n sin\theta$$

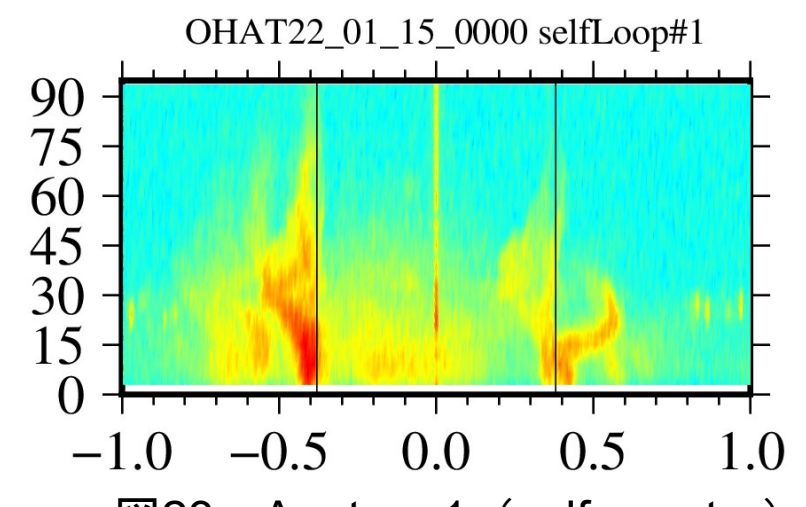
$$Im g_n(\theta) = \acute{a_n} cos\theta + \acute{b_n} sin\theta$$

<u>そのため、MUSICアルゴリズのような高度な解析手法を用いたい</u>

高度な方位角導出法の利用にあたり

self spectra • FirstOrderが分かる

 $voltage(dBm) \\ -180\text{--}170\text{--}160\text{--}150\text{--}140\text{--}130\text{--}120\text{--}110\text{--}100\text{--}90\text{ }-80\text{ }-70$



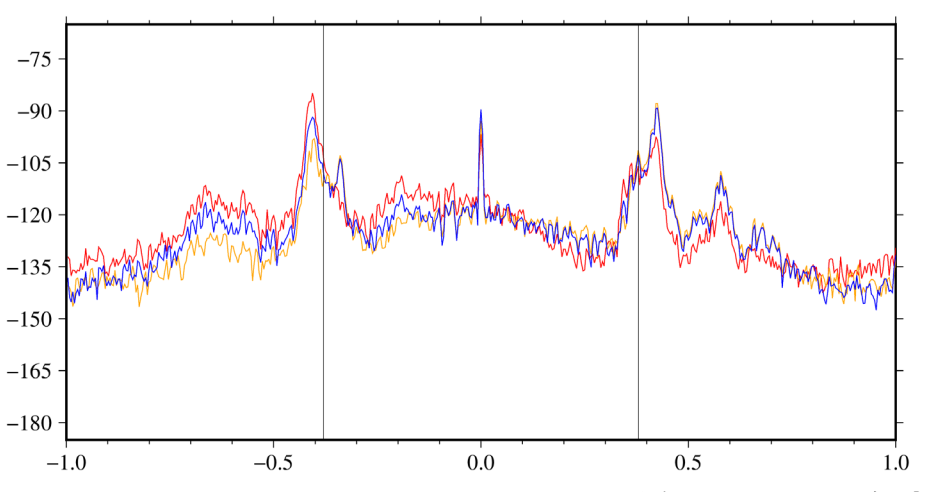
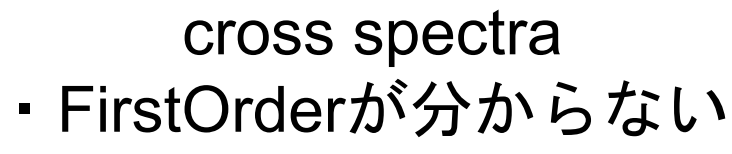
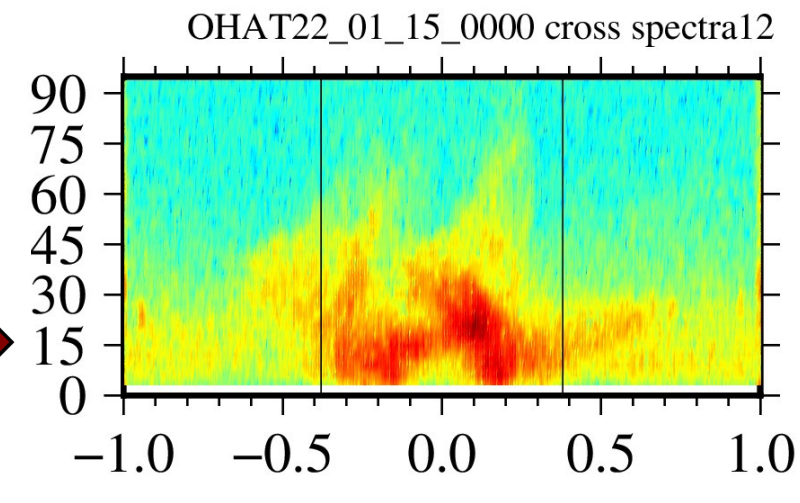


図23. Anntena1 (self spectra) のスペクトル図と3kmにおける受信電力の強さ



voltage(dBm)
-250-240-230-220-210-200-190-180-170-160-150-140

※カラースケール調整済み



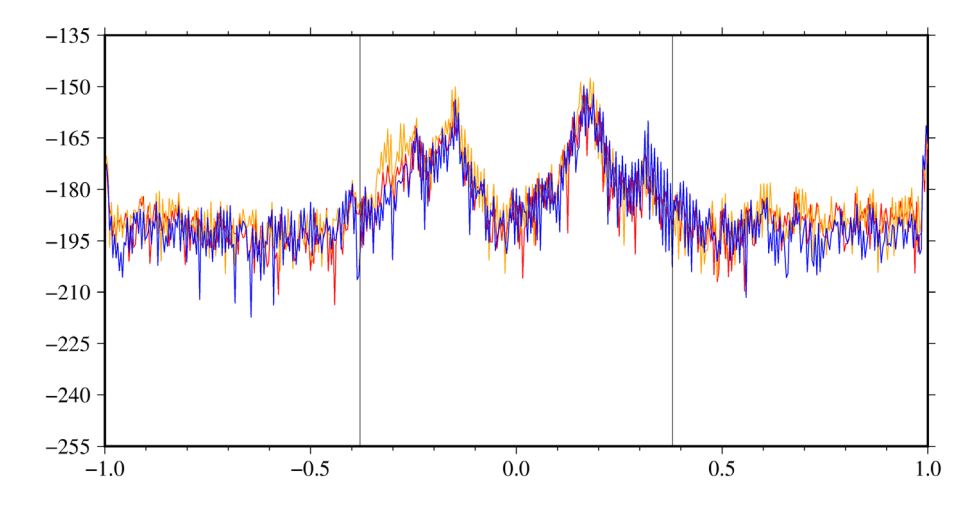
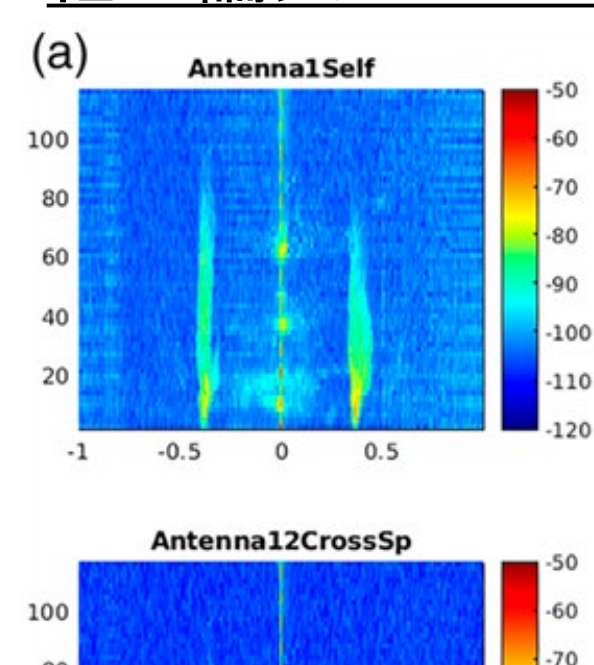


図24. Anntena12 (cross spectra) のスペクトル図と3kmにおける受信電力の強さ

cross spectraの解析方法の誤りが生じている可能性

他の論文とのスペクトル図の比較



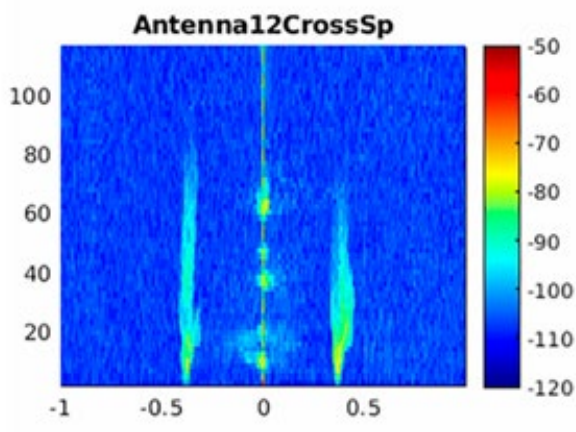
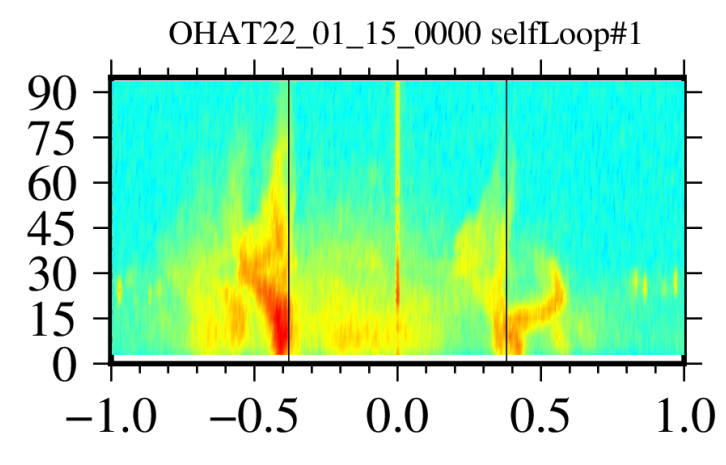


図24. Charles,A.G. el al.(2021) によるself spectraと cross spectraの図



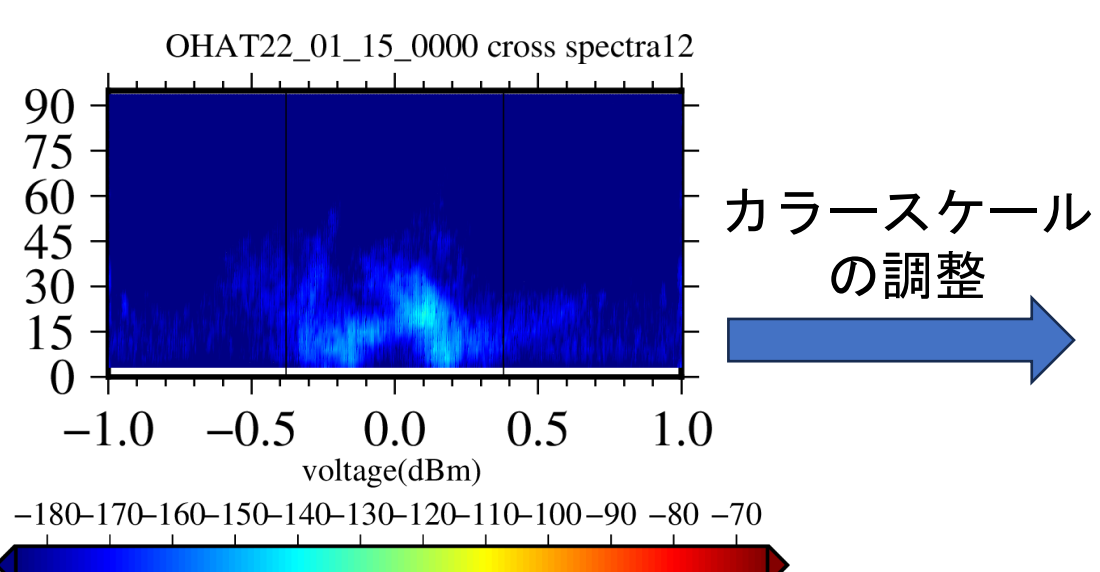


図25. 大畑局における self spectraとcross spectraの図

self spectraとcross spectraの比較

- カラースケールがほぼ同じのはず
- どちらもFirst Orderは見られるはず

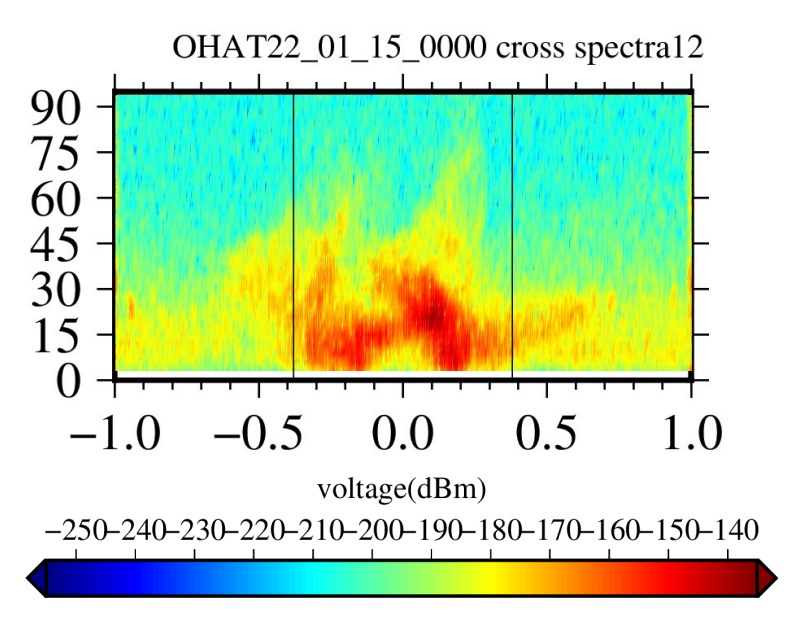


図26. 大畑局における self spectraとcross spectraの図 (カラースケール調整済み)

まとめ

短周期の現象の観測を行うために、短周期で観測データを処理 することで、従来とは異なる視線方向流速を確認することができた

今後の展望

- 最小二乗法、MUSICアルゴリズムに向けたcross spectraの解析
- 方位角導出精度の向上による短周期流動場の導出